

استفاده از روش تصمیم‌گیری شباهت به گزینه ایده‌آل (TOPSIS) جهت یافتن نقاط بهینه نمونه‌گیری زمین‌شناسی در کلسیت‌های قره‌قشلاق

منصور رضایی عزیزی^{1*}، صمد علیپور¹ و جعفر عبدالبھی‌شریف²

(1) گروه زمین‌شناسی، دانشگاه ارومیه، ارومیه، ایران

(2) گروه معدن، دانشگاه ارومیه، ارومیه، ایران

دریافت: 1393/3/25، پذیرش: 1392/6/26

چکیده

آنالیز ذخایر کلسیت (مرمر) به رنگ‌های سبز، سفید و صورتی در منطقه قره‌قشلاق واقع در جنوب حوضه رسوی دریاچه ارومیه نشان می‌دهد که مقادیر منفی ناهنجاری Eu مربوط به دمای بسیار پایین محلولهای آهکساز جوی و قلیایی‌بودن محیط و ناهنجاری منفی Ce بیانگر احیایی‌بودن شرایط تشکیل بوده است. کمبودن میزان Sr^{2+} محلولهای آهکساز از دیگر مؤلفه کننده زمین‌شیمیایی در تشکیل این تیپ ذخایر می‌باشد.

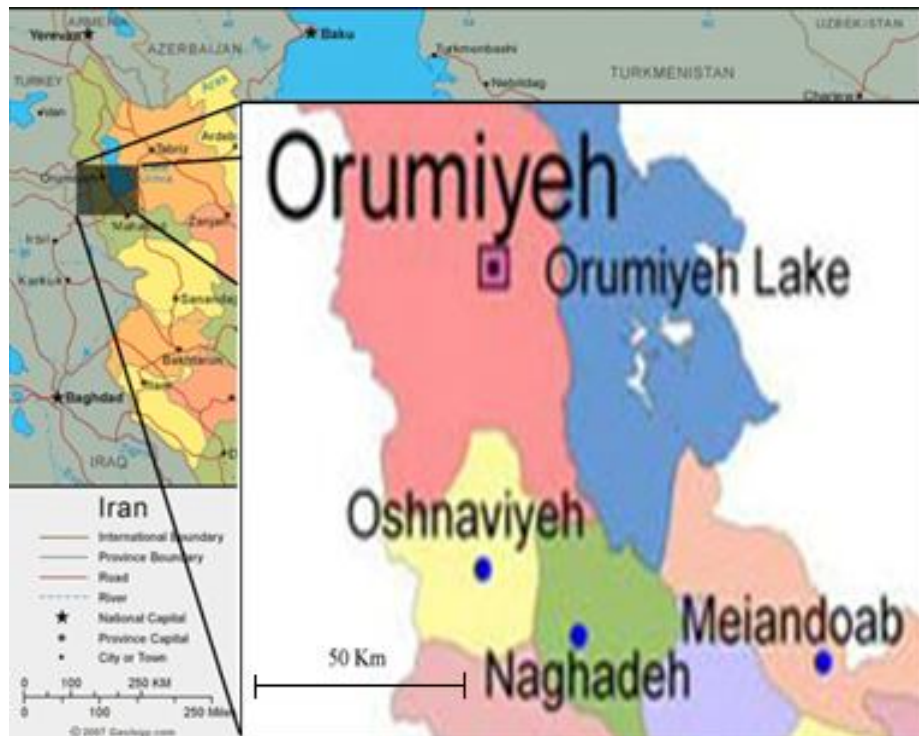
مدل تصمیم‌گیری شباهت به گزینه ایده‌آل نشان می‌دهد که شاخص ناهنجاری Eu با 43 درصد وزنی بیشترین اهمیت و شاخصهای میزان Sr^{2+} و ناهنجاری Ce به ترتیب با وزن‌های $11/6$ و $6/4$ درصد در اولویت‌های بعدی در تفسیر واقعی‌تر نتایج آنالیزهای زمین‌شیمیایی منطقه دارند. بر اساس این مدل شاخصهای زمین‌شیمیایی برای کلسیت‌های صورتی $0/837$ ، کلسیت سبز $0/445$ و کلسیت سفید $0/157$ به دست آمد. نتایج نشان می‌دهد که بهترین واحدهای سنگ‌شناختی برای نمونه‌گیری و انجام آنالیز جهت بررسی و تعیین ژنز، کلسیت‌های صورتی و سبز می‌باشند.

واژه‌های کلیدی: مدل تصمیم‌گیری چندمعیاره، زمین‌شیمیایی، کلسیت، نقاط بهینه نمونه‌گیری، قره‌قشلاق، زون سنندج-سیرجان.

منطقه شامل کلسیت‌های صورتی، سبز و سفید رنگی است که ضخامت آنها از حدود 10 سانتی‌متر تا 6 متر و گسترش آنها از چندین ده متر تا چندین صدمتر در تغییر است. ارزش اقتصادی بسیار زیاد آنها سبب شده که تاکنون از نظر ابعاد علمی و چگونگی تشکیل و اکتشاف مورد مطالعه قرار نگرفته و صرفاً از نظر استخراج و فروش مورد توجه قرار بگیرند. لذا در این پژوهش ضمن انجام مطالعه زمین‌شیمیایی این ذخایر و دلایل تشکیل و نهشته‌شدن کلسیت‌ها، با استفاده از یکی از مدل‌های تصمیم‌گیری چند معیاره میزان اهمیت نسبی هر کدام از عوامل مؤثر بر ترسیب کلسیت در آنها بررسی و نتایج آن جهت استفاده در بهترین نقاط نمونه‌گیری از واحدهای کلسیتی مورد استفاده قرار گرفته است.

مقدمه

تعدادی ذخیره بسیار تیپیک و ارزشمند کلسیت (با نام تجاری مرمر) در 78 کیلومتری جنوب شهرستان ارومیه و 26 کیلومتری شمال مهاباد در مناطق قره‌قشلاق، کوسه‌کهریز، کوپکلو و مملو با مختصات جغرافیایی $31^{\circ} 30' 45''$ تا $37^{\circ} 00' 45''$ طول شرقی و $43^{\circ} 36' 00''$ عرض شمالی در حال بهره‌برداری می‌باشد (شکل 1). همین امر موجب جلب توجه بهره‌برداران معدن سنگهای تزئینی در اکتشاف ذخایر احتمالی دیگر شده است. قسمت عمده این ذخایر در یک توپوگرافی ملایم در زیر رسوبات آبرفتی و آلوویوم‌های کواترنری تشکیل شده و عموماً توسط تراویرن‌های تیره و متخلخل پوشیده شده‌اند. ذخایر



شکل ۱. موقعیت جغرافیایی نهشته‌های کلسیتی حوضه جنوب دریاچه ارومیه (قره‌قشلاق).

Fig. 1. Location of calcite deposits of Urmia lake south basin (Ghare-Gheshlagh).

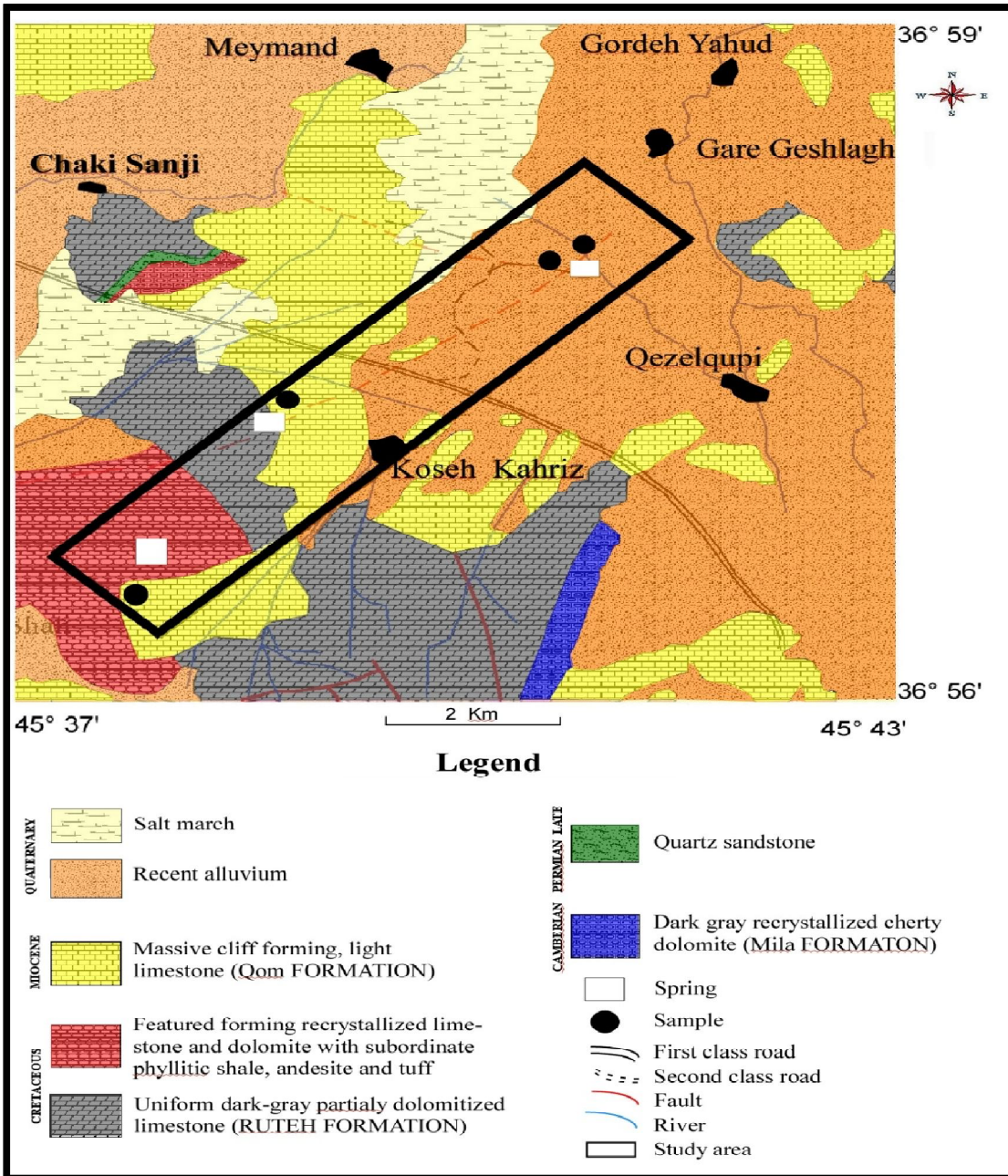
در بخش آزمایشگاهی به منظور تعیین فازهای کانیایی نهشته‌ها، نمونه‌ها جهت آنالیز با روش پراش اشعه ایکس (XRD) به آزمایشگاه گروه فیزیک دانشگاه ارومیه ارسال شد. میزان اکسیدهای اصلی با روش فلورسانس اشعه ایکس (XRF) و میزان عنصر فرعی، جزئی و نادرخاکی با روش طیف‌سنجی جرمی پلاسمای جفت‌شده القایی (ICP-MS) توسط دستگاه Varian مدل 735 در سازمان زمین‌شناسی و اکتشافات معدنی اندازه‌گیری شدند. همچنین مقادیر I.L.O.I نمونه‌های مذکور به روش اندازه‌گیری وزن نمونه‌ها قبل و بعد از حرارت دادن تا 1000 درجه سانتی‌گراد در مدت یک ساعت توسط سازمان مذکور تعیین شده است.

در این پژوهش پس از تعیین عناصر، عوامل زمین‌شیمیایی و زمین‌شناسی مؤثر در ژئوآنهای شاخصهای زمین‌شیمیایی برای هر کدام از واحدهای کلسیتی در قالب ماتریس‌های تصمیم‌گیری چندشاخه تعریف و با استفاده از روابط ریاضی در مدل TOPSIS میزان اوزان نسبی هر کدام از شاخصها در ژئوکلسیت‌های مورد مطالعه تعیین شده و بر اساس آن بهترین واحدهای کلسیتی برای نمونه‌گیری جهت مطالعات زمین‌شیمیایی و تعیین دقیق‌تر منشأ آنها به دست آمد.

روش مطالعه

فاز مطالعاتی این پژوهش در سال 1390 در دو بخش صحرایی و آزمایشگاهی صورت گرفت. در بخش صحرایی پیمایش‌های صحرایی متعددی از مناطق دارای ذخیره کلسیت به منظور بررسی واحدهای سنگ‌شناختی، هندسه کانسار و ارتباط آن با سازندهای موجود در منطقه صورت گرفت. همچنین به منظور بررسی زمین‌شیمیایی، منشأ و عوامل زمین‌ساختی مؤثر بر تشکیل ذخیره، در امتداد یک پروفیل با روند شمال شرق-جنوب غرب (شکل 2) از هر کدام از سینه‌کارهای استخراجی هر واحد کلسیتی موجود در منطقه تعداد 5 نمونه به فواصل 4 متر از یکدیگر و همچنین به منظور بررسی ارتباط میان این کلسیت‌ها و سنگ‌های میزبان تعداد 5 نمونه از سنگ میزبان و در مجموع کلاً تعداد 20 نمونه برداشت گردید.

سپس به منظور تعیین نقطه بهینه نمونه‌گیری جهت انجام آزمایشها نمونه‌های برداشت شده در آزمایشگاه زمین‌شیمیایی گروه زمین‌شناسی دانشگاه ارومیه تا 80-80 مش پودر شده و پودرهای هر واحد با یکدیگر مخلوط گردید و سپس از هر کدام از چهار مخلوط به دست آمده یک نمونه به عنوان نمونه میانگین جهت انجام آزمایشها برداشت گردید.



شکل 2. نقشه زمین‌شناسی 1:100000 و موقعیت محل نمونه‌گیری از کلسیت‌های قره‌قلاط با تغییراتی از (Eftekharnejad, 1973).

Fig. 2. 1:100,000 geological map and sampling sites in Ghare-Gheshlagh calcites, modified after Eftekharnejad (1973).

شده است. عمده‌ترین سازندی که در منطقه رخمنون دارد سازند قم با سن میوسن متشکل از آهک با رنگ روشن است که در بخش شمال، غرب، جنوب و جنوب شرق منطقه گسترش دارد. در بخش‌هایی از غرب و جنوب‌غرب منطقه سنگ آهک‌های نسبتاً دولومیتی شده مربوط به سازند روته به رنگ خاکستری تیره ارتفاعات بلند منطقه را تشکیل داده‌اند. در

زمین‌شناسی منطقه
از نظر زمین‌شناسی ناحیه‌ای، این منطقه بر اساس تقسیم‌بندی ساختاری در شمال واحد زمین‌ساختی سندنج - سیرجان قرار گرفته است (Stocklin and Nabavi, 1972). نقشه زمین‌شناسی 1:100000 منطقه (شکل 2) نشان می‌دهد که بخش عمده این منطقه توسط رسوابات آبرفتی کواترنری پوشیده

زمین‌شیمی عناصر اصلی، جزئی و نادرخاکی در کلسیت‌ها

زمین‌شیمی عناصر اصلی

نتایج آنالیز عناصر اصلی نمونه‌های میانگین در جدول ۱ و نمودار عنکبوتی آنها در شکل ۵ آمده است. همان‌طور که مشاهده می‌شود SiO_2 تغییرات بسیار اندکی از خود نشان می‌دهد ولی افزایش مقدار SO_3 در کلسیت‌ها نسبت به دولومیتهای میزبان نشان می‌دهد که محلولهای آهکساز نهشته‌ها در قسمتهای عمیق‌تر یا با آبهای زیرزمینی حاوی SO_3 اختلاط یافته و یا احتمالاً از لایه‌های ژیپس‌دار عبور نموده‌اند. مقدار Fe_2O_3 از ۰/۴۵٪ در دولومیت به ۲/۳۳٪ و ۲/۲۹٪ در کلسیت‌های سفید و سبز افزایش یافته که به صورت لایه‌های قهقهه‌ای رنگ در این واحدها قابل شناسایی است (شکل ۴) ولی در کلسیت صورتی افزایشی از خود نشان نمی‌دهد. افزایش نسبتاً زیاد مقدار CaO از ۳۵/۱۹٪ در دولومیت به حدود ۴/۵۳ – ۴/۵۵٪ در کلسیت‌ها و نیز کاهش مقدار MgO از ۱۷/۵٪ در دولومیت‌ها به ۰/۲۹٪ در کلسیت‌ها نشان می‌دهد که آبهای جوی به دلیل داشتن pH نسبتاً اسیدی می‌توانند در دیاژنز سنگهای دولومیتی میزبان و در نتیجه افزایش میزان CaO و کاهش MgO در این نهشته‌ها نقش داشته باشند.

کانی کلسیت می‌تواند یون‌های فلزی مختلفی از جمله Zn^{2+} , Cu^{2+} , Mn^{2+} , Fe^{2+} و Cd^{2+} را در شبکه بلوری خود جای دهد (Ortega et al., 2005). از آنجایی که شعاع یونی این یون‌های فلزی کمتر از شعاع یونی کلسیم است به راحتی می‌توانند در شبکه بلوری رومبودرال کلسیت وارد شوند و یون‌های Mn^{2+} و Fe^{2+} به دلیل داشتن ثابت انحلال پذیری بیشتر از ۱ برابر پدیده روبش به همراه کلسیت رسوب می‌نمایند (Ortega et. al., 2005). افزایش مقدار MnO به ۶/۰٪ در کلسیت صورتی و رسوب ترکیبات منگنزدار به صورت کربنات منگنز در نهشته‌ها می‌تواند عامل ایجاد رنگ صورتی در این کلسیت شده باشد (Biets, 1990).

زمین‌شیمی عناصر جزئی

نتایج آنالیز عناصر جزئی نمونه‌های میانگین در جدول ۲ و نمودار عنکبوتی بهنگارشده (Taylor and McLennan, 1981) آنها در شکل ۶ آمده است.

بخشهایی از جنوب غرب منطقه رخمنوهایی از فیلیت هموزن با میان لایه‌هایی از سنگهای آتشفسانی دگرگون شده، ماسه-سنگ و توف به همراه ماسه‌سنگ کوارتزی پرمین بالایی دیده می‌شود. قدیمی‌ترین واحدی که در بخشی از جنوب شرقی منطقه رخمنون دارد دولومیت‌های چرت‌دار سازند میلا با سن کامبرین است (Eftekharnejhad, 1973; Aghanabati, 2004).

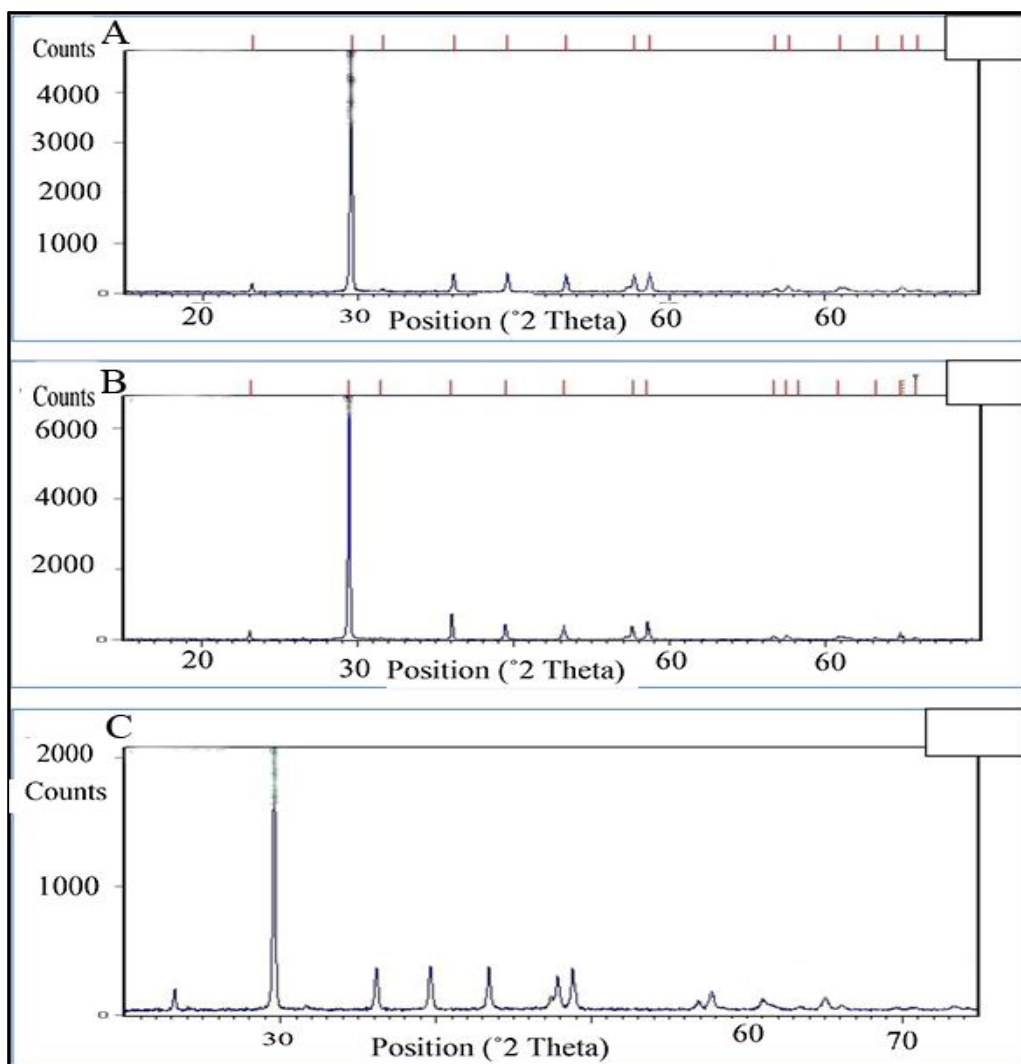
کانی‌سازی در این منطقه شامل نهشته شدن مجدد کلسیت‌های بلورین به رنگ‌های سبز، سفید و صورتی است که در اثر انحلال سنگ‌های آهکی و دولومیتی میزبان و نهشته شدن مجدد آنها توسط چشم‌های آهکساز فعال و یا خشک‌شده‌ای است که توسط رسوبات آبرفتی کواترنری پوشیده شده‌اند. این نهشته‌ها کن tact در قابل رویت با سنگ میزبان آهکی و دولومیتی ندارند. همچنین با توجه به انحلال و ترسیب مجدد کلسیت در این نهشته‌ها آثار دگرگونی در مطالعه میکروسکوپی و صحرابی مشاهده نمی‌شود.

بحث و بررسی

مطالعه کانی‌شناسی

به منظور بررسی و پی‌بردن به فازهای کانی‌ای تشکیل‌دهنده ذخایر از روش پراش اشعه ایکس (XRD) استفاده گردید. نمودارهای نتایج حاصل از آنالیز نشان می‌دهند که کانی‌شناسی افقهای تحت بررسی بسیار ساده بوده و کانی اصلی تشکیل‌دهنده ذخایر سبز (شکل A-3)، صورتی (شکل B-3) و سفید (شکل C-3) از نوع کلسیت می‌باشند.

بلورهای کلسیت به صورت لایه‌های متواالی با رنگ‌های یکنواخت و بعضی به رنگ‌های مختلف به دلیل همراهی با اکسیدها با ضخامت‌های در حد میلی‌متر تا سانتی‌متر بر روی هم رسوب نموده‌اند (شکل 4). تغییرات رنگی در لایه‌ها بیانگر فعالیت محلولهای مختلف با ترکیب شیمیایی متفاوت از هم و تغییرات اکسیدهایی مانند اکسید آهن در آنها می‌باشند. با توجه به این نمودارها معلوم می‌شود که همراهی فازهای کانی‌ای نامشخص در نهشته‌های کلسیتی، نادر بوده و کانیهای پیکمنت موجود در انواعی از ذخیره‌ها کمتر از حد آشکارسازی دستگاه هستند، اما اثرات رنگی‌های آنها موجب تمایز نهشته‌ها از هم گردیده است.



شکل 3. نمودارهای پراش پرتو ایکس برای نمونه‌های میانگین منطقه قره‌قشلاق. A: کلسیت سبز. B: کلسیت سبز. C: کلسیت سفید.

Fig. 3. XRD diagrams of samples of Ghare-Gheshlagh A: Green calcite, B: Pink calcite, C: White calcite.



شکل 4. لایه‌های متواالی کلسیت به رنگهای سفید و قهوه‌ای (در همراهی با اکسیدهای آهن) در مرمر سفید قره‌قشلاق.

Fig. 4. White and brown (Iron oxides included) color calcite layers in white marble of Ghareh-gheshlagh.

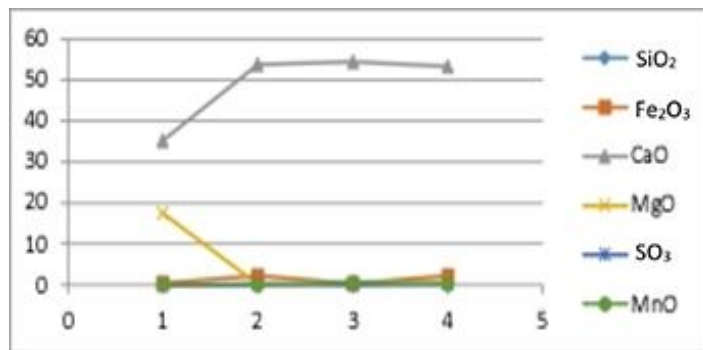
سفید و سبز بوده و بیانگر محیط احیایی زمان تشکیل این کلسیت‌هاست. از طرف دیگر این نمودار تهی شدگی مشخصی برای عنصر Ba, Th, Nb و P را در کلسیت‌ها نشان می‌دهد.

نتایج نشان می‌دهند که Rb و Sr در کلسیت سبز و U در کلسیت سبز و سفید غنی‌شدگی دارند که این غنی‌شدگی بهدلیل تشکیل کمپلکس با یونهای کربناته در کلسیت‌های

جدول 1. میزان اکسیدهای اصلی در نمونه‌های میانگین کلسیتی و دولومیت میزبان منطقه قره‌قالاق.

Table 1. XRD diagrams of samples of the Ghare-Gheshlagh: Green calcite, B: Pink calcite, C: White calcite.

Formula	Dolomite	White Calcite	Pink Calcite	Green Calcite
SiO₂	0.16	0.25	0.11	0.16
Fe₂O₃	0.45	2.33	0.3	2.29
MnO	0.05	0.05	0.67	0.15
MgO	17.5	0.29	0.55	0.53
CaO	35.19	53.89	54.45	53.4
SO₃	0.05	0.3	0.2	0.36
L.O.I	46.52	42.8	43.6	42.96



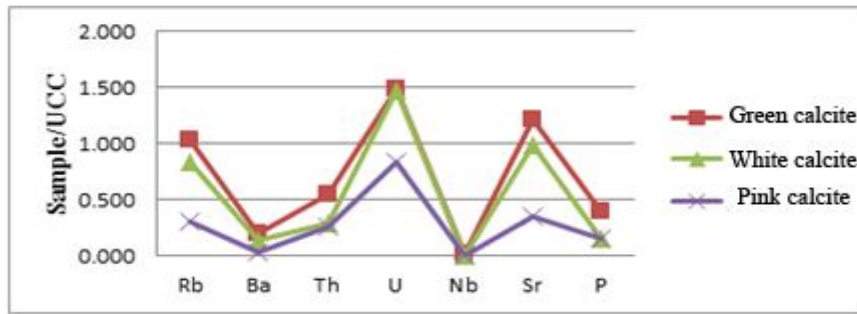
شکل 5. نمودار عنکبوتی اکسیدهای موجود در کلسیت‌ها و سنگ میزبان منطقه قره‌قالاق. در محور افقی شماره 1, 2, 3 و 4 به ترتیب مربوط به دولومیت، کلسیت سفید، کلسیت صورتی و کلسیت سبز می‌باشند.

Fig. 5. Spider diagram of major oxides in calcites and host rock of the Ghare-Gheshlagh. 1, 2, 3, 4 and 5 in horizontal axe indicate Dolomite, White calcite, Pink calcite and Green calcite respectively.

جدول 2. مقادیر بهنجارشده عناصر جزئی نسبت به میانگین پوسته قاره‌ای در دولومیت و کلسیت‌های قره‌قالاق (بر حسب ppm).

Table 2. Average continental crust normalized of trace elements in dolomite and calcites of the Ghare-Gheshlagh (ppm).

Elements	Dolomite	Green calcite	White calcite	Pink calcite
Rb	0.237	1.036	0.838	0.303
Ba	0.022	0.191	0.132	0.034
Th	0.225	0.55	0.281	0.257
U	0.904	1.492	1.48	0.84
Nb	0.002	0.008	0.002	0.002
Sr	0.283	1.22	0.989	0.351
P	0.076	0.397	0.151	0.15



شکل 6. نمودار عنکبوتی توزیع عناصر جزئی در کلسیت‌های منطقه قره‌قشلاق.

Fig. 6. Spider diagram of trace elements distribution in calcites of the Ghare-Gheshlagh.

آراغونیت به صورت هگزاگونال است. لذا Sr^{2+} برای تشکیل دادن کثوردینانس 9 مقدار CO_3^{2-} بیشتری را به خود جذب می‌نماید و در نتیجه شکل هگزاگونال ایجاد و در ساختمان آراغونیت وارد می‌شود. این جای گزینی تا زمانی ادامه پیدا می‌کند که میزان Sr و دمای محیط تشکیل ثابت بماند. چنانچه در غلاظت Sr و یا دمای محیط تغییری حاصل شود در آن صورت کلسیت به عنوان فاز پایدار شروع به رسوب گذاری خواهد کرد (Sunagawa et al., 2007). مقدار استرانسیوم در نمونه‌های کلسیتی منطقه مورد مطالعه در دامنه 123-427 ppm در تغییر است و لذا شرایط برای تشکیل کلسیت از محلولهای کربنات کلسیم‌دار مناسب بوده است.

ناهنجری Eu

از دیگر عواملی که در تعیین منشأ ذخایر مفید می‌باشد محاسبه ناهنجاری Eu است. استفاده از این عامل می‌تواند در شناسایی نوع محیط تشکیل از نظر قلیایی-اسیدی و میزان دمای محیط تشکیل در سیستم‌های آب-کربناته کمک شایانی داشته باشد (Bau and Moller, 1992; Sverjensky, 1984). با استفاده از آنالیز نمونه‌های میانگین میزان ناهنجاری Eu هر کدام از واحدهای کلسیتی سبز، سفید و صورتی به ترتیب برابر 0/087، 0/247 و 0/997 به دست آمد (جدول 3).

استفاده از نسبت Sr/Ba برای تشخیص نوع محیط رسوی از نظر قاره‌ای و یا اقیانوسی و فعالیت آبهای ماقمایی گوشه به کار گرفته شده و مشخص شده که بالابودن این نسبت در حد 42/6 با فعالیت آبهای ماقمایی گوشه در پوسته اقیانوسی ارتباط دارد (Cheng et al., 2013). تغییر مقدار نسبت Sr/Ba در کلسیت‌های منطقه مورد مطالعه در دامنه 3/18 تا 5/21 درصد بیانگر محیط رسوی قاره‌ای و عدم تأثیر آبهای ماقمایی در آنها است.

نقش استرانسیوم در رسوب کلسیت و آراغونیت

استرانسیوم از جمله عناصری است که در محیط‌های آبی کربناته می‌تواند باعث نهشته شدن کلسیت و یا آراغونیت گردد. نهشته شدن آراغونیت به میزان Sr^{2+} به مقدار بیش از حد بحرانی (Sunagawa et al., 2007) در محیط‌های آبگین بستگی دارد که مقدار حد بحرانی استرانسیوم در کلسیت چشمگیری در دامنه 1100-440 ppm بوده ولی این مقدار در آراغونیت با افزایش چشمگیری در دامنه 18500-4900 ppm در تغییر است (Ortega et al., 2005). علت افزایش استرانسیوم در آراغونیت نسبت به کلسیت به عدد کثوردینانس کلسیم مربوط می‌شود. عدد کثوردینانس Ca^{2+} در آراغونیت 9 و در کلسیت 6 بوده و از طرفی شاعع یونی Sr بزرگ‌تر از Ca است، لذا توزیع Ca^{2+} در ساختمان بلوری کلسیت به شکل مکعبی و در

جدول 3. میزان ناهنجاری Eu در نمونه‌های میانگین منطقه قره‌قشلاق.**Table 3.** Eu anomalies in average samples of the Ghare-Gheshlagh.

Green calcite	White calcite	Pink calcite
0.087	0.247	0.997

در صورتی که این مقدار منفی باشد محیط احیایی و چنانچه مثبت باشد محیط تشکیل اسیدی است. در این پژوهش برای پی‌بردن به شرایط اکسیداسیون و احیاء محیط تشکیل نهشته‌های کلسیتی میزان ناهنجاری Ce برای هر واحد سنگ‌شناختی محاسبه شده است (جدول ۴). داده‌های جدول ۴ نشان می‌دهد که مقادیر ناهنجاری Ce در کلسیت صورتی، سفید و سبز به ترتیب برابر ۰/۰۱۳۱، ۰/۰۱۱۳ و ۰/۰۲۴۱ است. بر این اساس ناهنجاری Ce در هر سه واحد کلسیتی شدیداً منفی بوده و لذا محیط تشکیل نهشته‌های کلسیتی منطقه مورد مطالعه، محیطی احیایی بوده است.

با توجه به این مقادیر می‌توان نتیجه گرفت که در نهشته‌های کلسیتی سبز و سفید نسبت سیال به سنگ پایین (Nesbitt et al., 1990) و محلولهای آهکساز نهشته‌ها pH بیشتری داشته‌اند (Cheng et al., 2013) ولی در نهشته‌های کلسیتی صورتی نسبت سیال به سنگ بیشتر و pH محلولها کمتر بوده است.

ناهنجاری Ce

یکی دیگر از مؤلفه‌های مهم محاسبه ناهنجاری Ce است. ناهنجاری Ce می‌تواند شرایط اکسیداسیون و احیاء محیط تشکیل کانسارها را مشخص نماید (Nesbitt et al., 1990).

جدول ۴. میزان ناهنجاریهای Ce در نمونه‌های میانگین منطقه قره‌قشلاق.

Table 4. Ce anomalies in average samples of the Ghare-Gheshlagh.

Green calcite	White calcite	Pink calcite
0.0131	0.0113	0.0241

مدل تصمیم‌گیری شباهت به گزینه ایده‌آل (TOPSIS) این مدل یکی از بهترین مدل‌های تصمیم‌گیری چند معیاره است که بر اساس وزن دهی کمی به کار رفته و استفاده بسیار زیادی دارد (Momenei, 2006; Shakor Shahabi et al., 2007; Sayyadi et al., 2011). در این مدل برای به دست آوردن بهترین انتخاب بر اساس شاخصهایی که مد نظر طراح می‌باشد، ابتدا ماتریس تصمیم تعریف می‌شود. این ماتریس از تعدادی ستون که هر ستون شاخص مورد نیاز در تصمیم‌گیری می‌باشد، تشکیل یافته است. سطرهای این ماتریس از بیشترین تطابق را با شاخصها داشته باشد، تشکیل یافته است. اساس این تکنیک بر این مفهوم استوار است که بهترین نتیجه باید، کمترین فاصله را با راه حل ایده‌آل مثبت (بهترین حالت ممکن) و بیشترین فاصله را با راه حل ایده‌آل منفی (بدترین حالت ممکن) داشته باشد. مراحل اجرای مدل‌سازی تصمیم‌گیری چند معیاره به صورت زیر انجام گرفت.

مدل‌سازی تصمیم‌گیری چند معیاره در سالهای اخیر استفاده از روش‌های مدل‌سازی تصمیم‌گیری چند معیاره بهمنظور حل مسائل علوم مختلف از جمله علوم زمین گسترش چشم‌گیری یافته است (Zhijun et al., 2013). استفاده از این مدل‌سازیها در شاخه‌های مختلف علوم زمین توسط محققان این رشته از جمله مدل‌سازی سه‌بعدی جریان آب زیرزمینی (Qingchun et al., 2011), رفتارسنگی زمین لغزش (Marcato et al., 2012), پترولوزی (Griera et al., 2013) و اکتشافات زمین‌شیمیایی (Barnard et al., 2013) به کار گرفته شده است. مدل‌سازی تصمیم‌گیری چند معیاره نه تنها توانایی شبیه‌سازی عکس‌العمل ساختارهای زمین‌شناسی سازندها با جریان آب را دارد، بلکه در اکتشاف تعداد زیادی از زمینه‌های ساختاری در مدت زمان کوتاه انعطاف‌پذیری دارد و به همین دلایل می‌تواند Abdollahi Sharif et al., 2010; Yanhua et al., 2011; Rezaei Azizi, 2011; Rezaei Azizi et al., 2011 این مدل‌های تصمیم‌گیری چند معیاره، مدل TOPSIS می‌باشد که در این پژوهش به کار گرفته شده است.

(شاخص C3) و میزان Sr به عنوان عامل کنترل‌کننده تشکیل آرگونیت و یا کلسیت در محلولهای آبی کربناته است (شاخص C4). همچنین برای بررسی ارتباط بین میزان حجم ذخایر (شاخص C5) و نقش آن در تفاسیر زمین‌شیمیایی از این شاخص نیز در مدل‌سازی تصمیم‌گیری چند معیاره استفاده گردید (جدول 5).

انتخاب شاخصهای زمین‌شیمیایی و زمین‌شناسی همان‌طور که قبلاً اشاره گردید عوامل ساختاری زمین‌شناسی و زمین‌شیمیایی مؤثر بر ژنز این تیپ ذخایر شامل مقدار CaO محلول در چشممه‌های آهک‌ساز (شاخص C1)، ناهنجاری Eu جهت تعیین قلیایی - اسیدی بودن محیط تشکیل و تشخیص حدود میزان دمای محیط تشکیل (شاخص C2)، ناهنجاری Ce جهت تعیین اکسیداسیون و احیا بودن محیط تشکیل

جدول 5. میزان ذخایر کلسیت در منطقه قره‌قشلاق (بر حسب تن).

Table 5. Volume of the calcite deposits in the Ghare-Gheshlagh.

White calcite	Green calcite	Pink calcite
1703	79679	63778

ماتریس A1 کلسیت صورتی، A2 کلسیت سبز و A3 کلسیت سفید در نظر گرفته شده‌اند. هر کدام از آرایه‌های این ماتریس اعداد متضاد شاخص در مقابل نوع کلسیت را نشان می‌دهد (جدول 6).

تشکیل ماتریس شاخص - سنگ ماتریس تصمیم شاخص - سنگ ماتریسی است به ابعاد 3×5 که ستونهای آن شاخصهای زمین‌شیمیایی و زمین‌شناسی بررسی شده در منطقه و ردیفهای ماتریس نیز نوع واحدهای کلسیتی است که از آنها نمونه‌گیری انجام گرفته است. در این

جدول 6. ماتریس تصمیم شاخص - سنگ در منطقه قره‌قشلاق.

Table 6. Index-Rock decision matrix in the Ghare-Gheshlagh.

A _i C _j	CaO	Eu Anomaly	Ce anomaly	Sr	Volume
Pink calcite	54.45	0.997	0.0241	0.35	63778
Green calcite	53.4	0.087	0.0131	1.22	79679
White calcite	53.89	0.247	0.0113	0.99	1703

آن اوزان هر عنصر جداگانه محاسبه می‌شود (Momenei, 2006). در این روش برای بی‌مقیاس‌سازی هر آرایه از رابطه 1 استفاده می‌شود.

$n_{ij} = \frac{a_{ij}}{\sqrt{\sum_{i=1}^m a_{ij}^2}}$ رابطه (1)
در این رابطه n_{ij} مقدار بی‌مقیاس شده کلسیت i از نظر شاخص j و a_{ij} آرایه مربوط به شاخص زمین‌شیمیایی i در واحد کلسیتی j است. با اعمال رابطه 1 ماتریس بی‌مقیاس مربوط به منطقه به دست می‌آید (جدول 7).

ماتریس بی‌مقیاس هر کدام از ستونهای ماتریس تصمیم شاخص - سنگ با شاخصهای مختلف و دارای واحدهای اندازه‌گیری متفاوتی می‌باشد. برای مقایسه آرایه‌های ماتریس و اعمال روابط ریاضی در آنها لازم است کل ماتریس به یک ماتریس بی‌مقیاس تبدیل گردد. با این تبدیل می‌توان ماتریسی ساخت که در آن تمام آرایه‌ها دارای واحدهای یکسانی برای مقایسه و اجرای مراحل بعدی باشند. از بین روش‌های مختلف موجود در بی‌مقیاس‌سازی، روش نورم یکی از بهترین روش‌های است که در

جدول 7. ماتریس بی‌مقیاس‌شده شاخص - سنگ در منطقه قره‌قشلاق.

Table 7. Index-Rock normalized weighted matrix in the Ghare-Gheshlagh.

Ai\Cj	CaO	Eu anomaly	Ce anomaly	Sr	Volume
Pink calcite	0.583	0.967	0.812	0.218	0.625
Green calcite	0.572	0.084	0.442	0.758	0.781
White calcite	0.577	0.24	0.381	0.615	0.017

در این رابطه a_{ij} آرایه‌های ماتریس شاخص - سنگ به دست آمده است. با استفاده از رابطه 2 مقدار آنتروپی شاخص Z_{ij} از رابطه 3 محاسبه می‌گردد. مقدار K ثابت است و بهمنظور این که E_i بین صفر و یک باشد اعمال می‌شود که مقدار K در این منطقه از رابطه 4 که در آن مقدار m برابر تعداد واحدهای کلسیتی ($m=3$) در نظر گرفته و برابر 0/91 به دست می‌آید.

$$Ej = -K \sum_{i=1}^m [pij \ln pij] \quad (3)$$

$$K = \frac{1}{\ln(m)} \quad (4)$$

در این مرحله مقدار اوزان (W_j) شاخصهای زمین‌شیمیایی و زمین‌شناسی منطقه مورد پژوهش با استفاده از رابطه 5 به دست می‌آید.

$$Wj = \frac{1-Ej}{\sum_{j=1}^n (1-Ej)} \quad (5)$$

بر اساس نتایج محاسبات (جدول 8) مشاهده می‌شود وزن شاخصهای ناهنجاری Eu و حجم ذخایر کلسیت به ترتیب 43٪ و 39٪ می‌باشند.

ارزیابی اوزان شاخصها

در ماتریس تصمیم باید اهمیت نسبی هر شاخص را مشخص کرد، از این رو به هر شاخص یک وزن داده می‌شود. این وزن‌ها اهمیت (رجحیت) هر شاخص را نسبت به بقیه نشان می‌دهد. برای وزن دار نمودن هر شاخص روش‌های مختلفی وجود دارد. یکی از روش‌های بسیار مرسوم و کارآمد روش آنتروپی است. در این روش با استفاده از معادلات ریاضی و بر اساس توزیع احتمال و سازوکارهای آماری هر شاخص وزن دار می‌گردد. در این پژوهش برای وزن دار نمودن شاخصهای زمین‌شیمیایی و زمین‌شناسی ذخایر تحت بررسی کلسیت از روش آنتروپی استفاده شده است. ماتریس تصمیم شاخص - سنگ حاوی اطلاعاتی است از ترکیب شاخصهای زمین‌شیمیایی برای هر واحد کلسیتی که آنتروپی می‌تواند به عنوان معیاری برای ارزیابی آن به کار رود.

در این مرحله ابتدا با استفاده از ماتریس شاخص - سنگ مقادیر توزیع احتمال P_{ij} بر اساس سازوکار آماری با استفاده از رابطه 2 محاسبه می‌شود.

$$Pij = \frac{aij}{\sum_{i=1}^n aij} \quad (2)$$

جدول 8. اوزان شاخصهای زمین‌شیمیایی و زمین‌شناسی قره‌قشلاق.

Table 8. Geological and geochemical index weights in the Ghare-Gheshlagh.

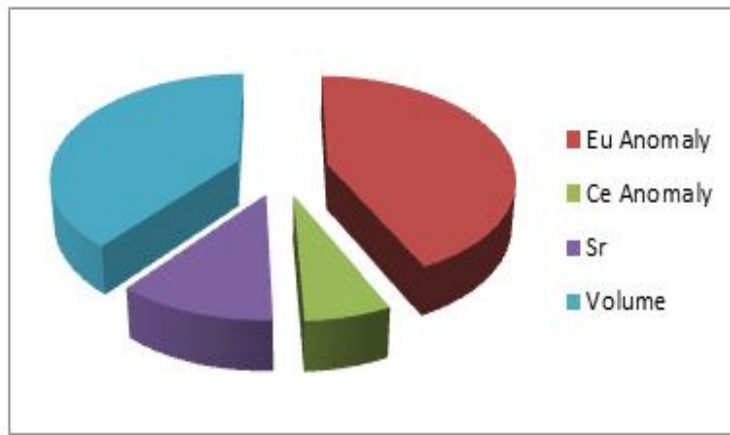
CaO	Eu anomaly	Ce anomaly	Sr	Volume
0%	43%	6.4%	11.6%	39.1%

این واقعیت است که اگر نمونه از کلسیت‌های با حجم ذخیره بیشتر انتخاب گردد تفسیر نتایج زمین‌شیمیایی به واقعیت

این اعداد نشان می‌دهند که ناهنجاری Eu بیشترین اهمیت را در بررسی زمین‌شیمیایی دارد. تأثیر حجم ذخیره نیز بیانگر

مقدار CaO به ترتیب با وزنهای 6/4٪ و صفر درصد اهمیت کمتری در تفسیر نتایج زمین‌شیمیایی دارد (شکل 7).

نژدیکتر خواهد بود. اندازه‌گیری میزان Sr با وزنی برابر 11/6٪ نشان می‌دهد که در بین سایر عناصر و عوامل زمین‌شیمیایی و زمین‌شناسی از اهمیت کم و ناهنجاری و Ce



شکل 7. نمودار گرافیکی اوزان شاخصهای زمین‌شیمیایی و زمین‌شناسی قره‌قشلاق.

Fig. 7. Diagram of geological and geochemical index weights in the Ghare-Gheshlagh.

$$d_i^{(+)^2} = \sqrt{\sum_{j=1}^n (v_{ij} - v_j)^2} \quad (7)$$

$$CL^* = \frac{di(-)}{di(-) - di(+)} \quad (8)$$

در این روابط v_j^+ بردار بهترین مقادیر هر شاخص زمین‌شیمیایی ماتریس و v_j^- بردار بدترین مقادیر هر شاخص زمین‌شیمیایی ماتریس می‌باشد. میزان فاصله هر واحد کلستیتی تا ایده‌آل‌های مثبت (d_j^+) و منفی (d_j^-) به صورت فاصله اقلیدسی محاسبه می‌گردد. نتایج حاصل از این محاسبات در این پژوهش در جدول 9 و نمودار گرافیکی آن در شکل 8 ارائه شده است.

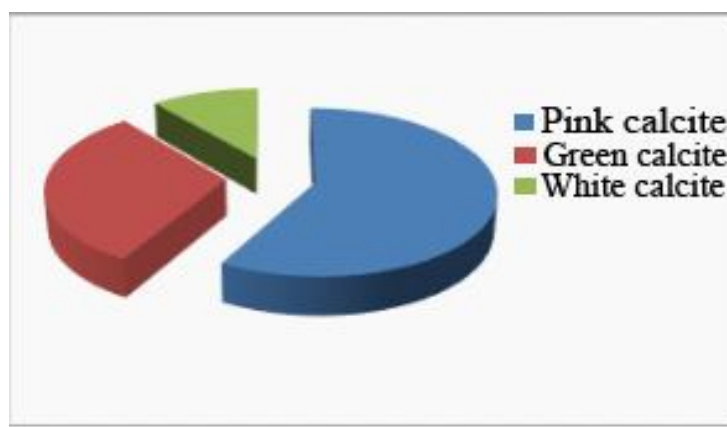
تعیین میزان نژدیکی نسبی CL*
استفاده از این مدل می‌تواند میزان نژدیکی نسبی تطبیق نمونه‌های واحدهای کلستیتی بر اساس شاخصهای زمین‌شیمیایی به ایده‌آل‌های مثبت و منفی را نشان دهد. برای محاسبه این مقادیر در واحدهای کلستیتی منطقه ابتدا باید ماتریس بی‌مقیاس شده شاخص زمین‌شیمیایی - واحدهای کلستیتی را در ماتریس مربعی اوزان که در آن قطر اصلی این ماتریس اوزان شاخصهای زمین‌شیمیایی است ضرب شود تا ماتریس بی‌مقیاس شده موزون V به دست آید، سپس با استفاده روابط 6.6 و 8 میزان CL^* محاسبه شود.

$$d_i^{(+)} = \sqrt{\sum_{j=1}^n (v_{ij} - v_j^+)^2} \quad (6)$$

جدول 9. مقادیر CL^* واحدهای کلستیتی در منطقه قره‌قشلاق.

Table 9. CL^* values for calcitic units in the Ghare-Gheshlagh.

CL^* (Pink calcite)	0.837
CL^* (Green calcite)	0.445
CL^* (White calcite)	0.157



شکل ۸. نمودار گرافیکی بهترین واحدهای سنگ‌شناختی برای نمونه‌گیری در مطالعات زمین‌شیمیایی منطقه قره‌قشلاق.

Fig. 8. Graphic diagram of the optimum sampling formations for geochemical investigations in the Ghare-Gheshlagh.

و ناهنجاری Ce به ترتیب وزنی برابر ۳۹/۴۳، ۱/۱۱ و ۶/۴ درصد می‌باشند. بالا بودن میزان درصد وزنی ناهنجاری Eu نشان می‌دهد که قلیایی بودن محیط تشکیل بیشترین تأثیر را در کنترل رسوب کلسیت‌ها داشته و مقدار Sr محلولها و احیایی بودن محیط تشکیل عوامل نسبتاً مؤثر دیگری در رسوب کلسیت می‌باشند.

۳- نتایج محاسبه نزدیکی نسبی کلسیت‌های منطقه بر اساس داده‌های زمین‌شیمیایی نشان می‌دهد که واحد کلسیتی صورتی، سبز و سفید به ترتیب دارای مقادیری برابر با ۰/۰۸۳۷ ۰/۰۴۴۵ و ۰/۰۱۵۷ می‌باشند. با توجه به اعداد به دست آمده واحدهای کلسیتی صورتی و سبز بیشترین نزدیکی و تطابق را با شاخصهای زمین‌شیمیایی مؤثر در منشأ دارند و واحد کلسیتی سفید در بین سایر واحدهای کمترین مقدار تطابق را با این شاخصها دارد. لذا می‌توان استنباط کرد که بهترین واحدهای کلسیتی جهت نمونه‌گیری و انجام آنالیز برای تفسیر و تعیین دقیق‌تر منشأ واحدهای به ترتیب کلسیت‌های صورتی و سبز می‌باشند. استفاده از این مدل باعث کاهش هزینه نمونه‌گیری و آنالیزهای شیمیایی اولیه شده لذا در این منطقه در مطالعات بعدی بهتر است بیشتر نمونه‌ها از واحدهای کلسیتی صورتی و سبز انتخاب گردد.

مقدار نزدیکی نسبی کلسیت صورتی، سبز و سفید به ترتیب برابر ۰/۰۸۳۷ ۰/۰۴۴۵ و ۰/۰۱۵۷ به دست می‌آید. هرچه این اعداد به یک نزدیکتر باشند نشان می‌دهند که نتایج استفاده از آن واحد کلسیتی در تفاسیر زمین‌شیمیایی با در نظر گرفتن شاخصهای زمین‌شیمیایی فرض شده در مدل بهتر است.

نتیجه‌گیری

۱- مقادیر منفی ناهنجاری Eu بر اساس نتایج به دست آمده از آنالیزهای شیمیایی نشان می‌دهد که محلولهای آهکساز تشکیل‌دهنده کلسیت‌ها دمای بسیار پایینی داشته و همچنین نسبت سیال به سنگ در نهشته‌های کلسیتی سبز و سفید پایین ولی در نهشته‌های کلسیتی صورتی نسبت سیال به سنگ نسبتاً بیشتر و محیط تشکیل قلیایی بوده است. لذا پایین بودن دمای محلولهای چشممه‌های آهکساز و کم بودن میزان Sr در محلولها از عوامل کنترل‌کننده رسوب کلسیت به جای آراغونیت بوده است. از طرفی مقادیر ناهنجاریهای شدیداً منفی Ce در این نهشته‌ها نشان می‌دهد که محیط رسوبی تشکیل این ذخایر محیطی احیایی بوده است.

۲- بررسی اوزان شاخصهای زمین‌شیمیایی کلسیت‌های منطقه بر اساس مدل تصمیم‌گیری چند معیاره نشان می‌دهد که اهمیت و ارجحیت داده‌های زمین‌شیمیایی در تفسیر واحدهای کلسیتی منطقه مورد مطالعه برای ناهنجاری Eu، حجم، مقدار

References

- Abdollahi Sharif, J., Emamalipour, A., Alipour, A., and Mokhtarian Asl, M., 2010. Position of 3-D modelling for investigating geological, economical, reserve calculation and genesis of

them. Journal of Economic Geology, 2(1): 51-59. (in Persian with English abstract)

Aghanabati, S.A., 2004. Geology of Iran. Amir Kabir Press, Tehran, 434 pp. (in Persian)

- Barnard, P.L., Foxgrover, A.C., Elias, E.P.L., Erikson, L.H., Hein, J.R., McGann, M., Mizell, K., Rosenbauer, R.J., Swarzenski, P.W., Takesue, R.K., Wong, F.L. and Woodrow, D.L., 2013. Integration of bed characteristics, geochemical tracers, current measurements, and numerical modeling for assessing the provenance of beach sand in the San Francisco Bay Coastal System. *Marine Geology*, 336 (1): 120-145.
- Bau, M. and Moller, P., 1992. Rare-earth element fractionation in metamorphogenic hydrothermal calcite, magnesite and siderite. *Journal of Mineralogical and Petrological Science*, 45(2): 231–246.
- Biets, L., (translated by Alipour, S.), 1990. *Geology of Industrial Minerals and Rocks*. Urmia Jahade-Daneshgahi Press, Urmia, 365 pp. (in Persian)
- Cheng, D.L., Jiang-hao, L., Shou-pengc, Z., Lianga, L., Zhao-bina, Y., Guo-lina, G. and Tinga, L., 2013. Geochemical characteristics of calcite and dolomite in sandstone of Dongying Sinking, Shandong Province, China. *Procedia Earth and Planetary Science*, 7(4): 504 – 507.
- Eftekhanezhad, J., 1973. Geological map of Mahabad, scale 1:100,000. Geological Survey of Iran. (in Persian)
- Griera, A., Liorens, M., Gomez-Rivas, E., Bon,s P.D., Jessell, M.W., Evans, L.A. and Lebensohn, R., 2013. Numerical modelling of porphyroblast and porphyroblast rotation in anisotropic rocks. *Tectonophysics*, 587(1): 4-29.
- Marcato, G., Mantovani, M., Pasuto, A., Zabuski, L. and Borgatti, L., 2012. Monitoring, numerical modelling and hazard mitigation of the Moscardo landslide (Eastern Italian Alps). *Engineering Geology*, 128(1): 95-107.
- Momenei, M., 2006. New aspects of operation research. Tehran University Press, Tehran, 326 pp. (in Persian)
- Nesbitt, H.W., MacRae, N.D. and Kronberg, B.I., 1990. Amazon deep-sea fan muds: light REE enriched products of extreme chemical weathering. *Earth Planet Science Letters*, 100(1): 118-123.
- Ortega, R., Maire, R., Deves, G. and Quinif, Y., 2005. High-resolution mapping of uranium and other trace elements in recrystallized aragonite–calcite speleothems from caves in the Pyrenees (France): Implication for U-series dating. *Earth and Planetary Science Letters*, 237(8): 911– 923.
- Qingchun, Y., Wenxi, L. and Yanna, F., 2011. Numerical Modeling of Three Dimension Groundwater Flow in Tongliao (China). *Procedia Engineering*, 24(5): 638 – 642.
- Rezaei Azizi, M., 2011. Modeling of geology and blocks at Ghare-Gheshlagh marble mine and investigation of affecting parameters in forming and genesis of deposit. M.Sc. Thesis, Urmia University, Urmia, Iran, 128 pp. (in Persian with English abstract)
- Rezaei Azizi, M., Alipour, S., and Abdollahi sharif, J., 2011. 3-D modeling and it's role in Geological investigation of Ornamental Stone Deposits (with a case study on Gare-geshlagh mine). 3th Symposium of Iranian Society of Economic Geology, Shahid Chamran University of Ahwaz, Ahwaz, Iran. (in Persian with English abstract)
- Sayyadi, A., Hayati, M. and Monzaji, M., 2011. Risk management of tunneling using MADM techniques. *Journal of Industrial Management*, 3(7): 99-116. (in Persian with English abstract)
- Shakor Shahabi, R., Kakaei, R. and Basiri, M.H., 2007. Mineral classification by using TOPSIS method. *Journal of Mining engineering*, 2(4) 1-10. (in Persian with English abstract)
- Stocklin, J. and Nabavi, M., 1972. Tectonic Map of Iran, scale: 1:100,000. Geological Survey of Iran.
- Sunagawa, I., Takahashi, Y. and Imai, H., 2007. Strontium and aragonite – calcite precipitation. *Journal of Mineralogical and Petrological Science*, 102(1): 174-181.
- Sverjensky, D.A., 1984. Europium redox equilibria in aqueous solution. *Earth Planet Science Letters*, 67(1): 70–78.
- Taylor, S.R. and McLennan, S.M., 1981. The composition and evolution of the continental crust: rare earth elements evidence from sedimentary rocks. *Philosophical Transactions of the Royal Society*, 301(3): 381-399.
- Yanhua, Z., Robinson, J. and Schaubs, P.M., 2011. Numerical modeling of structural controls on fluid flow and mineralization. *Geoscience Frontiers*, 2(3): 449-461.
- Zhijun, W., Louis N. and Yuen, W., 2013. Modelling cracking behavior of rock mass containing inclusions using the enriched numerical manifold method. *Engineering Geology*, 5(1): 1-52.



Use of multiple attributes decision-making Technique for Order Preference by Similarity to Ideal Solution (TOPSIS) for Ghare-Gheshlagh calcite in determination of optimum geochemical sampling sites

Mansour Rezaei Azizi^{1*}, Samad Alipour¹ and Jafar Abdollahi Sharif²

1) Department of Geology, Faculty of science, Urmia University, Urmia, Iran

2) Department of Mining Engineering, Faculty of Engineering, Urmia University, Urmia, Iran.

Submitted: Sep. 17, 2013

Accepted: June 15, 2014

Keywords: TOPSIS, Geochemistry, Calcite, Optimum sampling sites, Ghare-Gheshlagh, Sanandaj-Sirjan zone.

Introduction

Several valuable calcite deposits are located in Ghare-Gheshlagh, south basin of Urmia Lake, NW Iran. Ghare-Gheshlagh area is situated in the northern part of tectono-sedimentary unit, forming NW part of Tertiary Sanandaj-Sirjan geological belt (Stocklin and Nabavi, 1972). The predominant rock types of the area include light color limestones (Qom Formation) and Quaternary alluviums and underlined dolomite in depth (Eftekharnejhad, 1973). The thickness of these units varies between 10 cm and 6 meters and up to some hundred meters in length.

In the present study, the effect of geochemical parameters responsible for precipitating calcite from the carbonate aqueous fluids is interpreted by the TOPSIS method to find the most preferable sampling sites and geochemical data.

Materials and Methods

A total of 20 samples were taken from a NE-SW trending profile including 15 calcites of fresh surface outcrops (5 samples per each colored calcite units) in order to determine the nature of the rocks. The mineral assemblages were analyzed by optical methods in combination with XRD powder diffraction analysis. Major elements were determined by X-Ray Fluorescence Spectrometry (XRF), trace and rare earth elements were determined by Inductively Coupled Plasma Mass Spectrometry (ICP-MS) in Geological Survey of Iran.

Results

The abundances of trace elements were normalized to the continental crust values (Taylor

and McLennan, 1981). The green calcite revealed enrichment in Rb and Sr, while green and white calcite were enriched in U. The U enrichment in the green calcite indicates the reduction condition of deposition. Incompatible elements such as Ba, Th, Nb and P depleted in all calcites. Varying the Sr/Ba value between 3.18 and 5.21% indicates the continental deposition environment and non-magmatic waters as well (Cheng et al., 2013). The Sr²⁺ content of calcites varies from 123 to 427 ppm, indicates suitable condition for calcite precipitation.

Eu anomalies for green, white and pink calcites were varied 0.087, 0.247 and 0.997 respectively. The low amounts of Eu anomaly for green and white calcites attributed to low rock/fluid ratio (Nesbitt et al., 1990) and relatively more pH value (Cheng et al., 2013), however, increasing the Eu anomaly may be due to high rock/fluid ratio and less pH value. Ce anomalies are 0.0241, 0.0113 and 0.0131 in pink, white and green calcites respectively. The most negative Ce anomaly values show that calcite have precipitated under reduction conditions (Nesbitt et al., 1990).

Discussion

Recently, multiple attributes decision-making techniques help scientist to solve decision-making problems related to various controlling factors (Zhijun et al., 2013). One of these techniques is a Technique for Order Preference by Similarity to Ideal Solution (TOPSIS) which is a quantitative weighted method (Momenei 2006). The identified criteria are CaO abundant in solution (C1), Eu anomaly (C2), Ce anomaly (C3), Sr abundant (C4) and volume (C5). The Index-Rock matrix

also includes A1, A2 and A3 alternatives; as pink, green and white calcite respectively.

The weighted normalized decision matrix can be calculated by multiplying the normalized evaluation matrix with its associated weight to obtain the result. The result show that Eu anomaly, volume, Sr abundant and Ce anomaly in order have higher role to investigate the geochemical study of area. Calculation of the relative closeness to the ideal solution (Ci^*) for pink, green and white calcites are 0.837, 0.445 and 0.157 respectively. It can be deduced that the most preferable calcite to be sampled for investigating geochemically are pink and green calcites.

References

- Cheng, D.L., Jiang-hao, L., Shou-pengc, Z., Lianga, L., Zhao-bina, Y., Guo-lina, G. and Tinga, L., 2013. Geochemical characteristics of calcite and dolomite in sandstone of Dongying Sinking, Shandong Province, China. Procedia Earth and Planetary Science, 7(4): 504 – 507.
- Eftekharnazhad, J., 1973. Geological map of Mahabad, scale 1:100,000. Geological Survey of Iran. (in Persian)
- Momenei, M., 2006. New aspects of operation research. Tehran University Press, Tehran, 326 pp. (in Persian)
- Nesbitt, H.W., MacRae, N.D. and Kronberg, B.I., 1990. Amazon deep-sea fan muds: light REE enriched products of extreme chemical weathering. Earth Planet Science Letters, 100(1): 118-123.
- Stocklin, J. and Nabavi, M., 1972. Tectonic Map of Iran, scale: 1:100,000. Geological Survey of Iran.
- Taylor, S.R. and McLennan, S.M., 1981. The composition and evolution of the continental crust: rare earth elements evidence from sedimentary rocks. Philosophical Transactions of the Royal Society, 301(3): 381-399.
- Zhijun, W., Louis N. and Yuen, W., 2013. Modelling cracking behavior of rock mass containing inclusions using the enriched numerical manifold method. Engineering Geology, 5(1): 1-52.